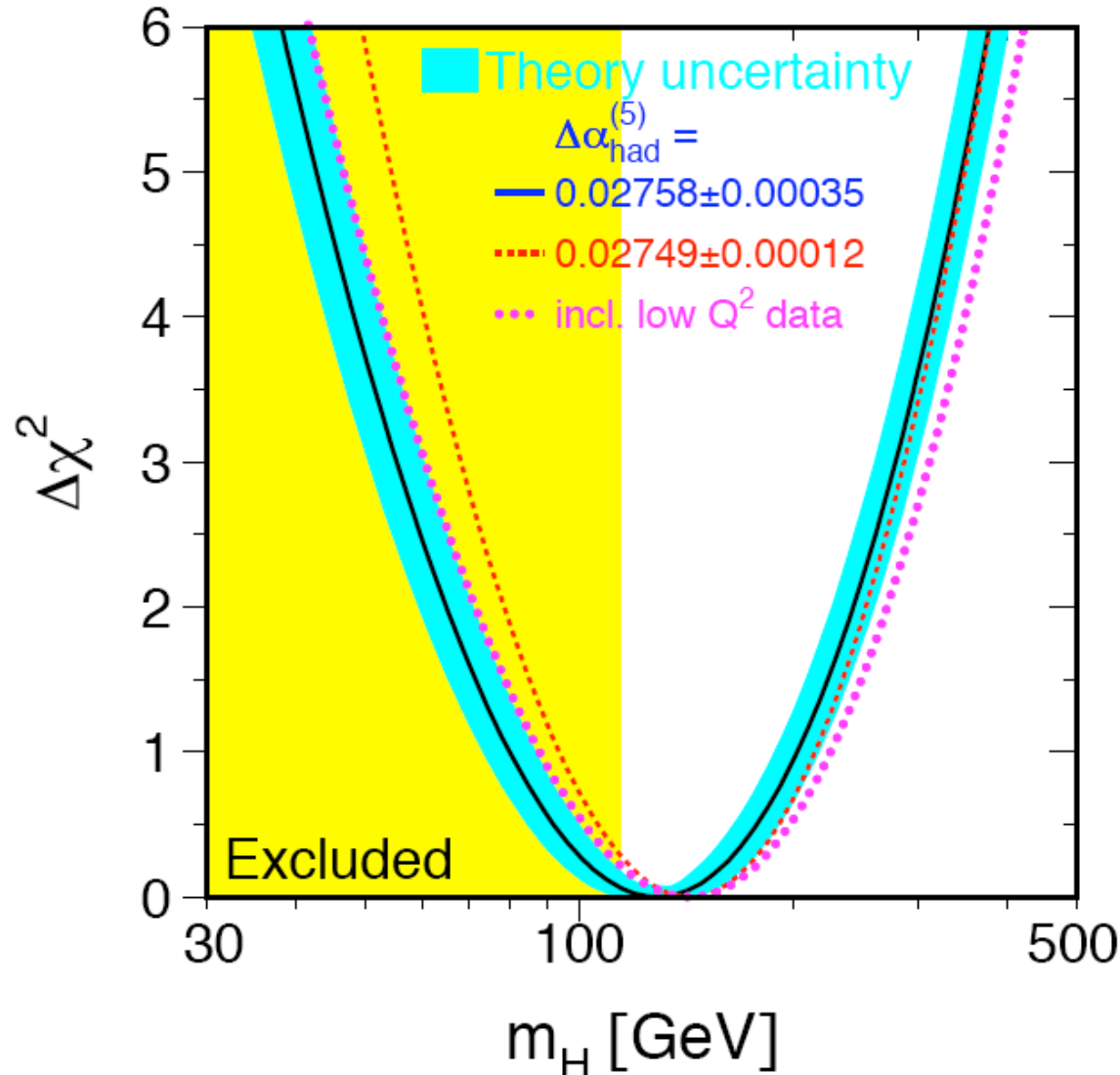


la massa dell'Higgs



- excluding $\mathcal{A}_\ell(\text{SLD})$:

$$m_H = 175^{+99}_{-66} \text{ GeV}$$

- excluding $A_{\text{FB}}^{0,\text{b}}(\text{LEP})$:

$$m_H = 76^{+54}_{-33} \text{ GeV}$$

9

Altri confronti:

| Data | \hat{s}_Z^2 | s_W^2 | $\alpha_s(M_Z)$ | M_H |
|--|---------------|-------------|-----------------|---------------------|
| All data | 0.23119(14) | 0.22308(30) | 0.1217(17) | 77^{+28}_{-22} |
| All indirect (no m_t) | 0.23123(16) | 0.22297(36) | 0.1217(17) | 104^{+130}_{-53} |
| Z pole (no m_t) | 0.23121(17) | 0.22312(59) | 0.1198(28) | 92^{+117}_{-46} |
| LEP 1 (no m_t) | 0.23152(21) | 0.22377(67) | 0.1213(30) | 173^{+241}_{-95} |
| SLD + M_Z | 0.23067(30) | 0.22216(54) | 0.1217 (†) | 25^{+23}_{-15} |
| $A_{FB}^{(b,c)} + M_Z$ | 0.23193(28) | 0.22489(75) | 0.1217 (†) | 326^{+224}_{-136} |
| $M_W + M_Z$ | 0.23095(28) | 0.22265(55) | 0.1217 (†) | 49^{+37}_{-26} |
| M_Z | 0.23133(7) | 0.22337(21) | 0.1217 (†) | 117 (†) |
| polarized Møller | 0.2331(14) | 0.2252(14) | 0.1217 (†) | 117 (†) |
| DIS (isoscalar) | 0.2345(17) | 0.2267(17) | 0.1217 (†) | 117 (†) |
| Q_W (APV) | 0.2291(19) | 0.2212(19) | 0.1217 (†) | 117 (†) |
| elastic $\nu_\mu(\overline{\nu_\mu})e$ | 0.2310(77) | 0.2232(77) | 0.1217 (†) | 117 (†) |
| SLAC eD | 0.222(18) | 0.213(19) | 0.1217 (†) | 117 (†) |
| elastic $\nu_\mu(\overline{\nu_\mu})p$ | 0.211(33) | 0.203(33) | 0.1217 (†) | 117 (†) |

10

Altre parametrizzazioni delle correzioni radiative

La formulazione delle correzioni radiative che abbiamo usato finora deriva in modo naturale dalle correzioni alle singole osservabili.

E' possibile riparametrizzare le correzioni in modo da isolare i termini di pura QED e QCD (essenzialmente il running delle costanti) dalle correzioni dovute alle masse dei fermioni.

Ci sono almeno due set, gli ϵ e i "parametri obliqui" STU

I parametri ϵ (Altarelli-Barbieri)

definizioni:

$$\begin{aligned}\epsilon_1 &= \Delta\rho \\ \epsilon_2 &= \cos^2\theta_0\Delta\rho + \frac{\sin^2\theta_0}{\cos^2\theta_0 - \sin^2\theta_0}\Delta r_w - 2\sin^2\theta_0\Delta\kappa' \\ \epsilon_3 &= \cos^2\theta_0\Delta\rho + (\cos^2\theta_0 - \sin^2\theta_0)\Delta\kappa' \\ \epsilon_b &= \frac{1}{2}\Delta\rho_b.\end{aligned}$$

$$\begin{aligned}\cos\vartheta_0\sin\vartheta_0 &= \frac{1}{M_Z}\sqrt{\frac{\pi\alpha(M_Z)}{G_F\sqrt{2}}} \\ \sin^2\theta_0 &= \frac{1}{2}\left(1 - \sqrt{1 - 4\frac{\pi\alpha(m_Z^2)}{\sqrt{2}G_F m_Z^2}}\right) \\ \sin^2\theta_{\text{eff}}^{\text{lept}} &= (1 + \Delta\kappa')\sin^2\theta_0\end{aligned}$$

dipendenza dalle masse del top e dell'Higgs

$$\begin{aligned}\epsilon_1 &= \frac{3G_F m_t^2}{8\sqrt{2}\pi^2} - \frac{3G_F m_W^2}{4\sqrt{2}\pi^2} \tan^2\theta_W \ln \frac{m_H}{m_Z} + \dots \\ \epsilon_2 &= -\frac{G_F m_W^2}{2\sqrt{2}\pi^2} \ln \frac{m_t}{m_Z} + \dots \\ \epsilon_3 &= \frac{G_F m_W^2}{12\sqrt{2}\pi^2} \ln \frac{m_H}{m_Z} - \frac{G_F m_W^2}{6\sqrt{2}\pi^2} \ln \frac{m_t}{m_Z} + \dots \\ \epsilon_b &= -\frac{G_F m_t^2}{4\sqrt{2}\pi^2} + \dots\end{aligned}$$

ϵ_2 dipende solo da $\ln(m_t)$
 ϵ_3 da $\ln(m_t)$ e da $\ln(m_H)$
ecc.

relazione con le quantità misurate

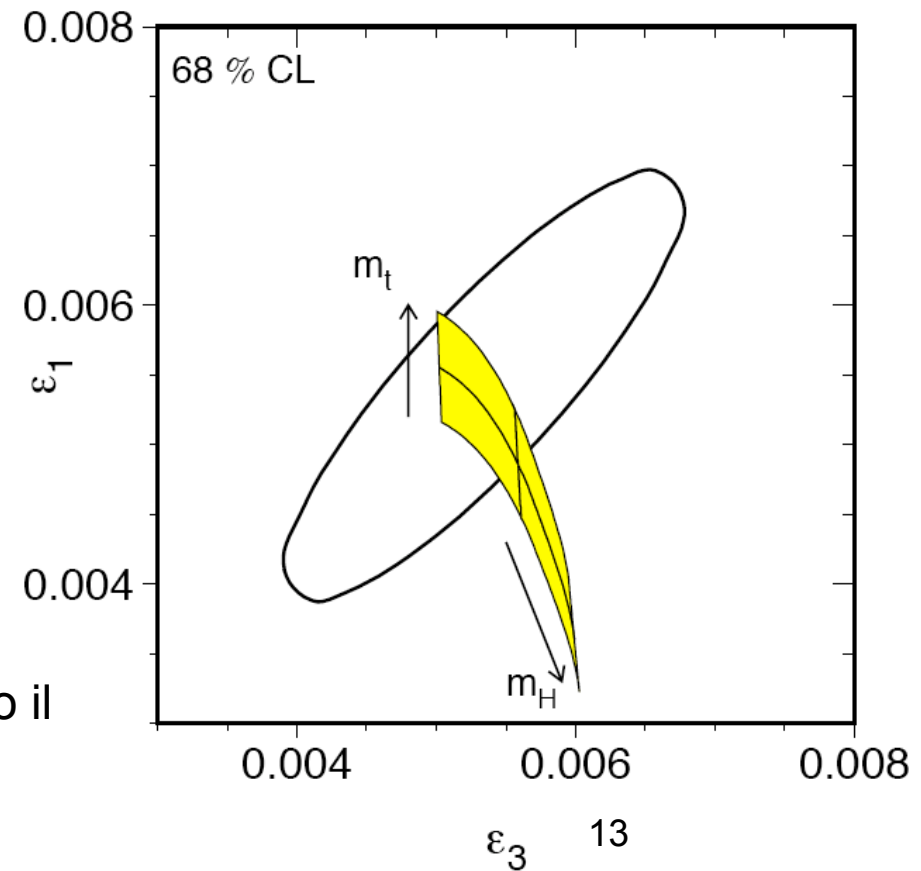
$$\begin{aligned}\frac{m_W^2}{m_Z^2} &= \frac{m_W^2}{m_Z^2}|_B(1 + 1.43\epsilon_1 - 1.00\epsilon_2 - 0.86\epsilon_3), \\ \Gamma_l &= \Gamma_l|_B(1 + 1.20\epsilon_1 - 0.26\epsilon_3), \\ A_l^{FB} &= A_l^{FB}|_B(1 + 34.72\epsilon_1 - 45.15\epsilon_3), \\ \Gamma_b &= \Gamma_b|_B(1 + 1.42\epsilon_1 - 0.54\epsilon_3 + 2.29\epsilon_b).\end{aligned}$$

(dove B sta per l'improved Born approximation che include QCD e QED)

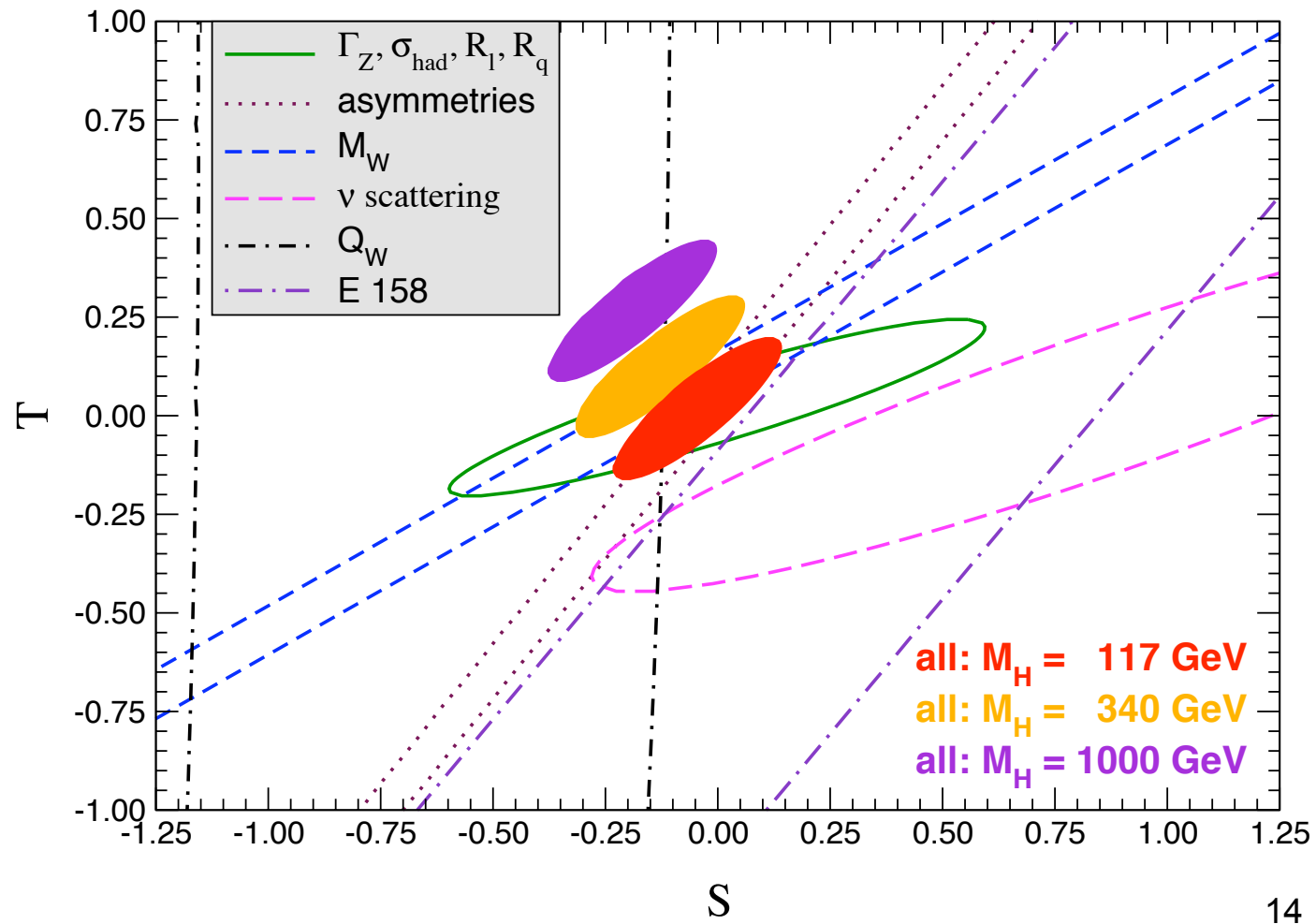
LEP-SLC + M_W

| | |
|--|------------------------|
| $\Delta\alpha_{\text{had}}^{(5)}(m_Z^2)$ | 0.02758 ± 0.00035 |
| $\alpha_S(m_Z^2)$ | 0.1185 ± 0.0039 |
| m_Z [GeV] | 91.1873 ± 0.0021 |
| ϵ_1 | $+0.0054 \pm 0.0010$ |
| ϵ_2 | -0.0089 ± 0.0012 |
| ϵ_3 | $+0.00534 \pm 0.00094$ |
| ϵ_b | -0.0050 ± 0.0016 |

La differenza da zero dimostra di nuovo il ruolo delle correzioni radiative e.w.



S T U



14